

What's New

3/14(土) CCS講演会

先着200名
要事前申込み!

2026年3月14日(土)
13:00~15:15 開場12:30予定
グランドホテルニュー王子
苫小牧市表町4-3-1

最果ての海に広がる氷の世界
いま、その静かな変化が
地球の未来を語り始めています
最新の研究をもとに
温暖化の「サイン」を読み解きます

館山 一孝氏(北極にて)

- 第一部 講演 「凍る海から見た地球温暖化」
北見工業大学 工学部 地球環境工学科 准教授 館山 一孝 氏
- 第二部 講演 「我が国のGX/CCS政策と苫小牧」
資源エネルギー庁 資源・燃料部 燃料環境適合利用推進課長(カーボンマネジメント課長) 刀禰 正樹 氏

参加費無料
(事前申込制)

参加費無料

皆さまお誘い合わせのうえ、
ご参加ください!

午前中の
苫小牧CCS実証試験センター見学会は
定員に達したため、申込みを
締め切らせていただきました。

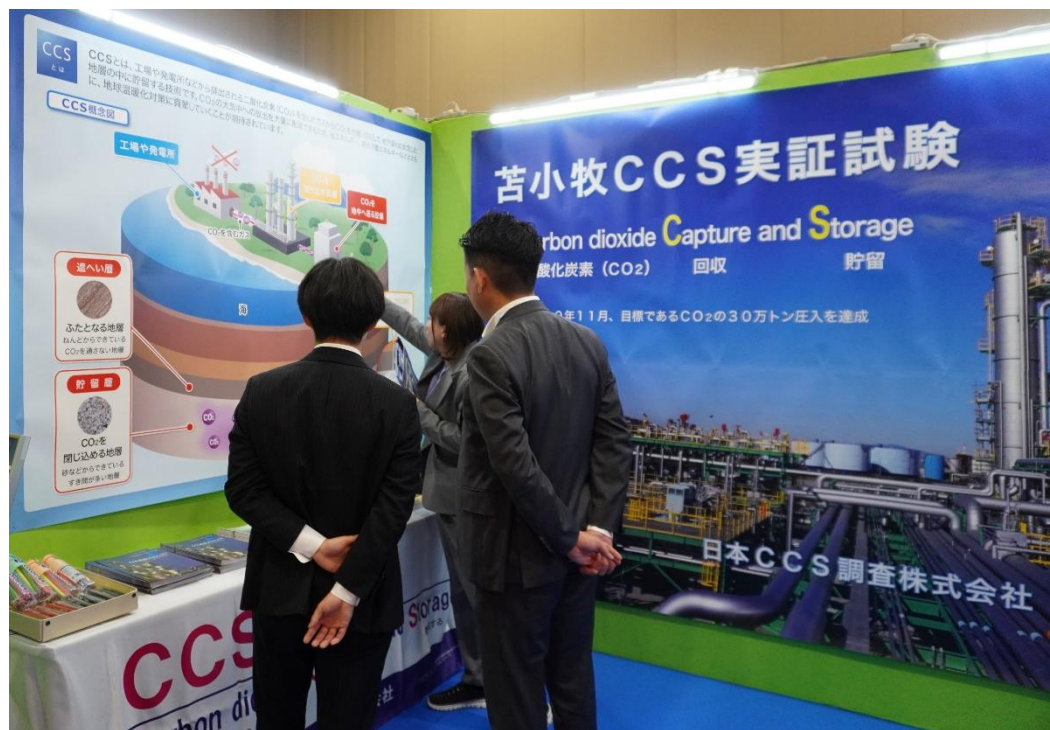
申込方法や詳細は
日本CCS調査(株)
WEBサイトへ

11月6日(木)~7日(金)

What's New

北海道ビジネスEXPO2025に出展しました。

ご来場、誠にありがとうございました。



What's New

子ども実験教室は今年も市内5ヶ所で開催！

ご参加ありがとうございました。

そして児童センターの皆さまのご協力に感謝いたします。



What's New

子ども実験教室は今年も市内5ヶ所で開催！

ご参加ありがとうございました。

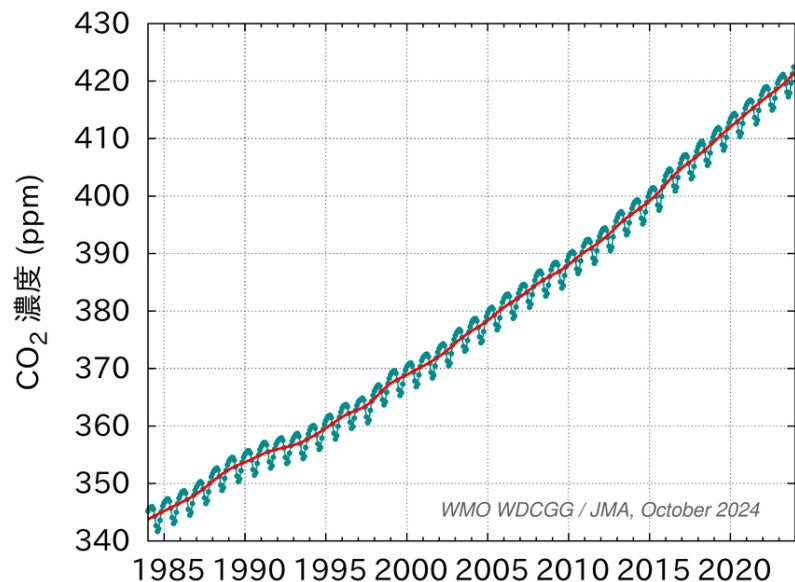
そして児童センターの皆さまのご協力に感謝いたします。



温暖化の主な要因はCO₂排出量の増加

●地球全体の二酸化炭素の経年変化

2023年世界平均濃度：前年より2.3ppm増の420.0ppm
工業化（1750年）以前の平均的な値約278ppm比、51%増加

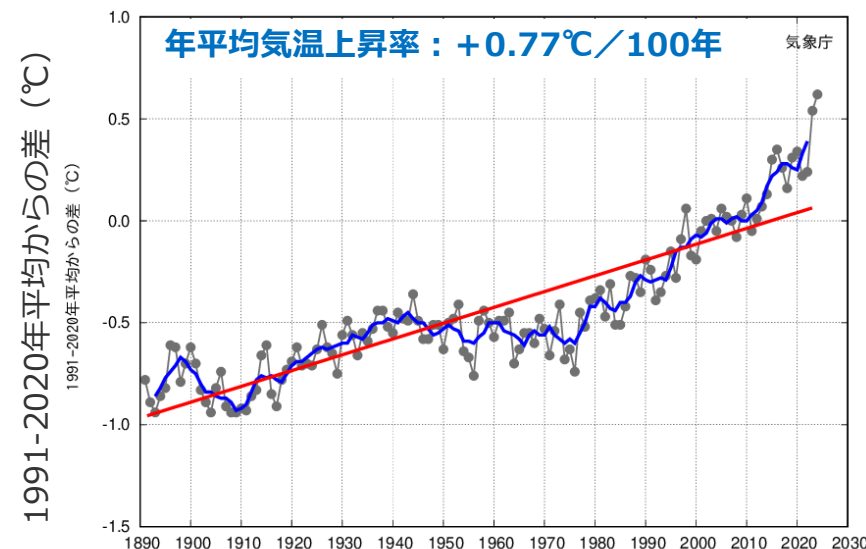


青色：月平均濃度
赤色：季節変動を除去した濃度

出典：気象庁「大気中二酸化炭素の世界平均濃度の経年変化」2025年3月25日更新
(https://www.data.jma.go.jp/ghg/kanshi/ghgp/co2_trend.html) を基に作成

●世界の年平均気温偏差の経年変化

世界の年平均気温：様々な変動を繰り返しながら上昇。
特に1990年代半ば以降、高温となる年が多い。

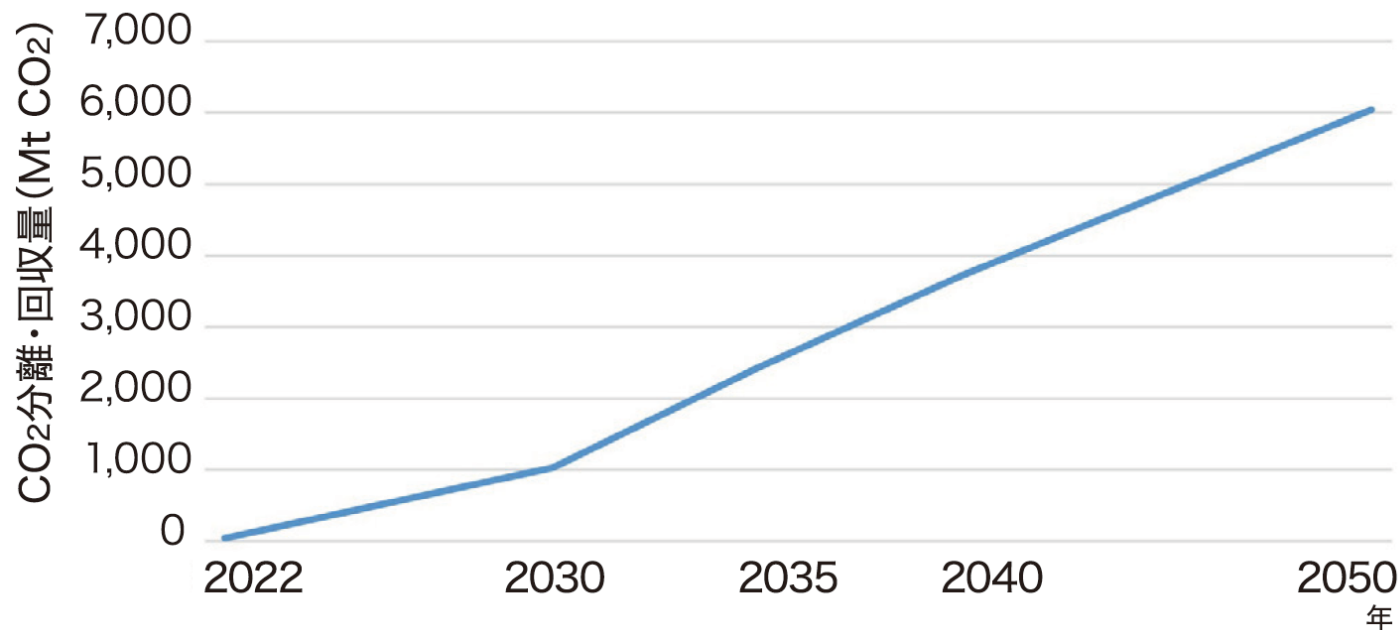


細線（黒）：各年の平均気温の基準値からの偏差
太線（青）：偏差の5年移動平均値
直線（赤）：長期変化傾向
基準値は1991～2020年の30年平均値

出典：気象庁「世界の年平均気温偏差の経年変化（1891～2023年）」2025年3月18日更新
(https://www.data.jma.go.jp/cpdinfo/temp/an_wld.html) を基に作成

CCUSのCO₂削減ポテンシャル

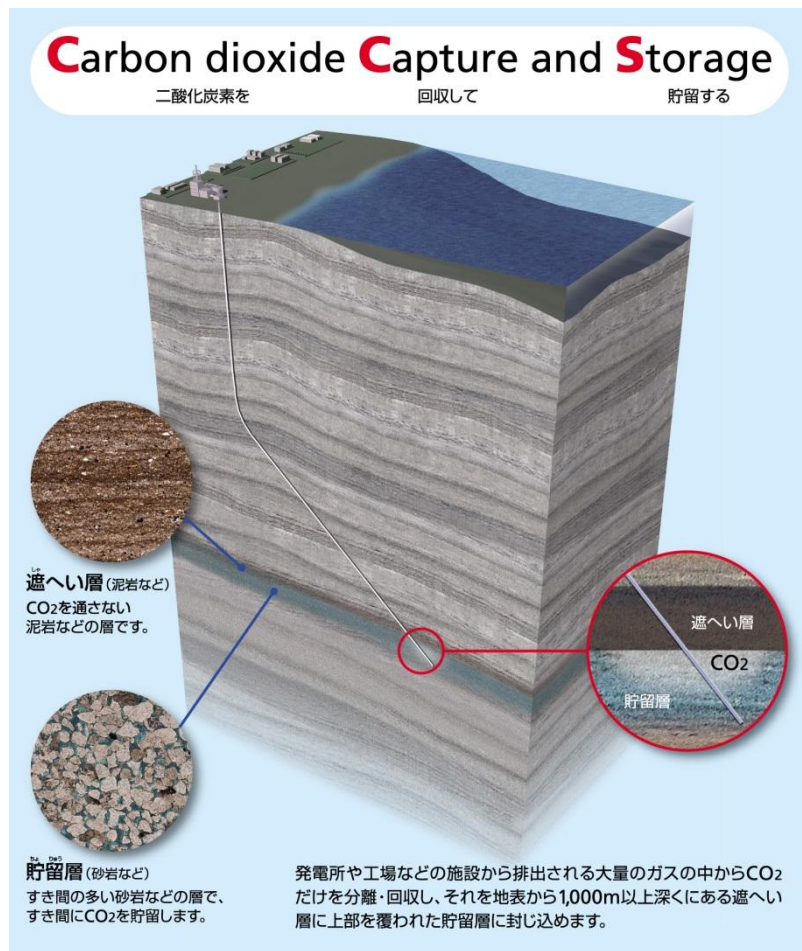
■ 2050年NET ZEROシナリオの想定によるCO₂分離・回収量



IEA(国際エネルギー機関)によれば、2050年ネットゼロを達成するために必要なCCUSによる世界のCO₂回収量は、その時点で年間約60億トンと見込まれています。

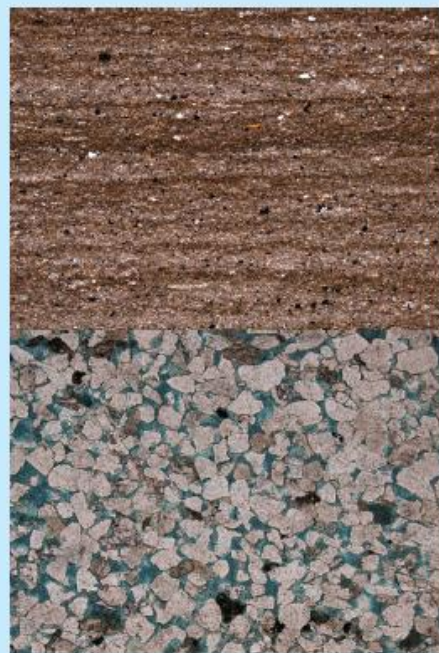
出典：IEA Net Zero Roadmap 2023 “Table A. 4: World CO₂ emissions”を基に作成

CCSとは



CCSとは、工場や発電所から排出されるガスから二酸化炭素(CO₂)を分離・回収し、地中に貯留することによって、大気中へのCO₂放出を抑制する革新的な地球温暖化対策技術です。

二酸化炭素(CO₂)を貯留するには



■遮へい層の特徴

細かい粒の粘土などが固まった泥岩など

- ・水が浸透しにくい性質
- ・十分な遮へい能力
- ・広く厚く貯留層を覆う

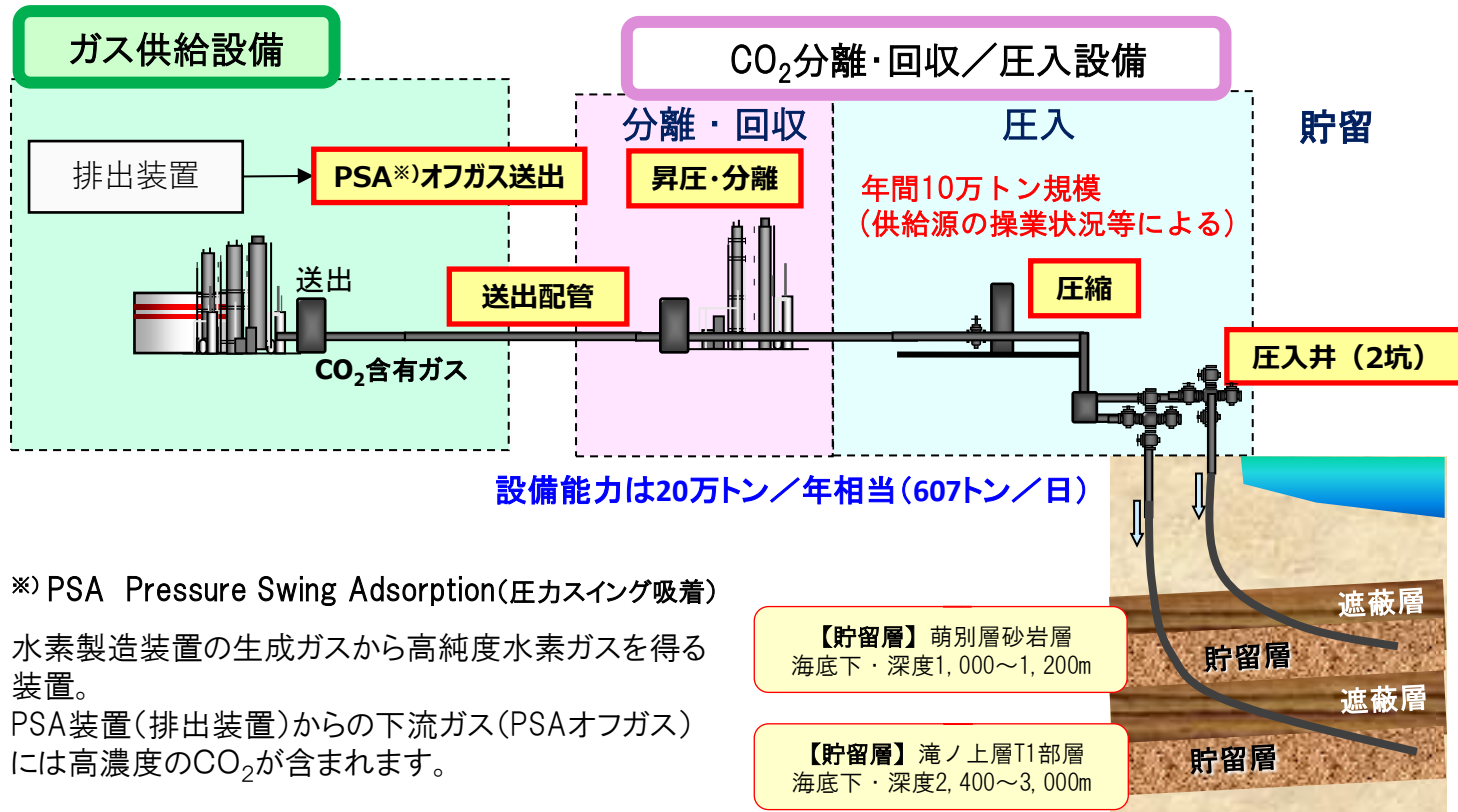
■貯留層の特徴

粒の粗い砂などが固まった砂岩や火山岩など

- ・CO₂を貯留するのに十分なすき間がある
- ・浸透性が高い

CO₂を海底下の地中に封じ込めるためには、貯留層とその上部に遮へい層が存在する地質構造が必要です。遮へい層は、貯留層に圧入したCO₂が貯留層から漏れないよう遮へいしています。

苫小牧実証試験：全体概要



製油所の水素製造装置から生成される二酸化炭素(CO₂)を含むガスから、CO₂を分離・回収し、圧入に必要な圧力まで昇圧(最大23MPa)して、年間10万トン規模のCO₂を苫小牧沖の2つの貯留層に圧入し、貯留します。

※) PSA Pressure Swing Adsorption(圧カスイング吸着)

水素製造装置の生成ガスから高純度水素ガスを得る装置。

PSA装置(排出装置)からの下流ガス(PSAオフガス)には高濃度のCO₂が含まれます。

出典：経済産業省 苫小牧地点における実証試験計画より編集

実証試験スケジュール(2012年度～)

委託契約期間 2012～2026年度

- 2012～2015年度、準備期間
設備の設計・建設、圧入井の掘削、実証運転の準備等を実施
- 2016年4月～2019年11月、CO₂圧入 (2019年11月、30万トン達成・停止)
- 2016年度～モニタリング^(*)、継続中
- 2019年11月～設備の保全、機能改善等
- 2021年度～CCSとCCUの連携運用の検討・準備等



(*) 圧入したCO₂の挙動(移動、広がり)を把握し、微小振動、自然地震を常時観測し、海洋環境調査を通じてCO₂の漏れがないか監視。

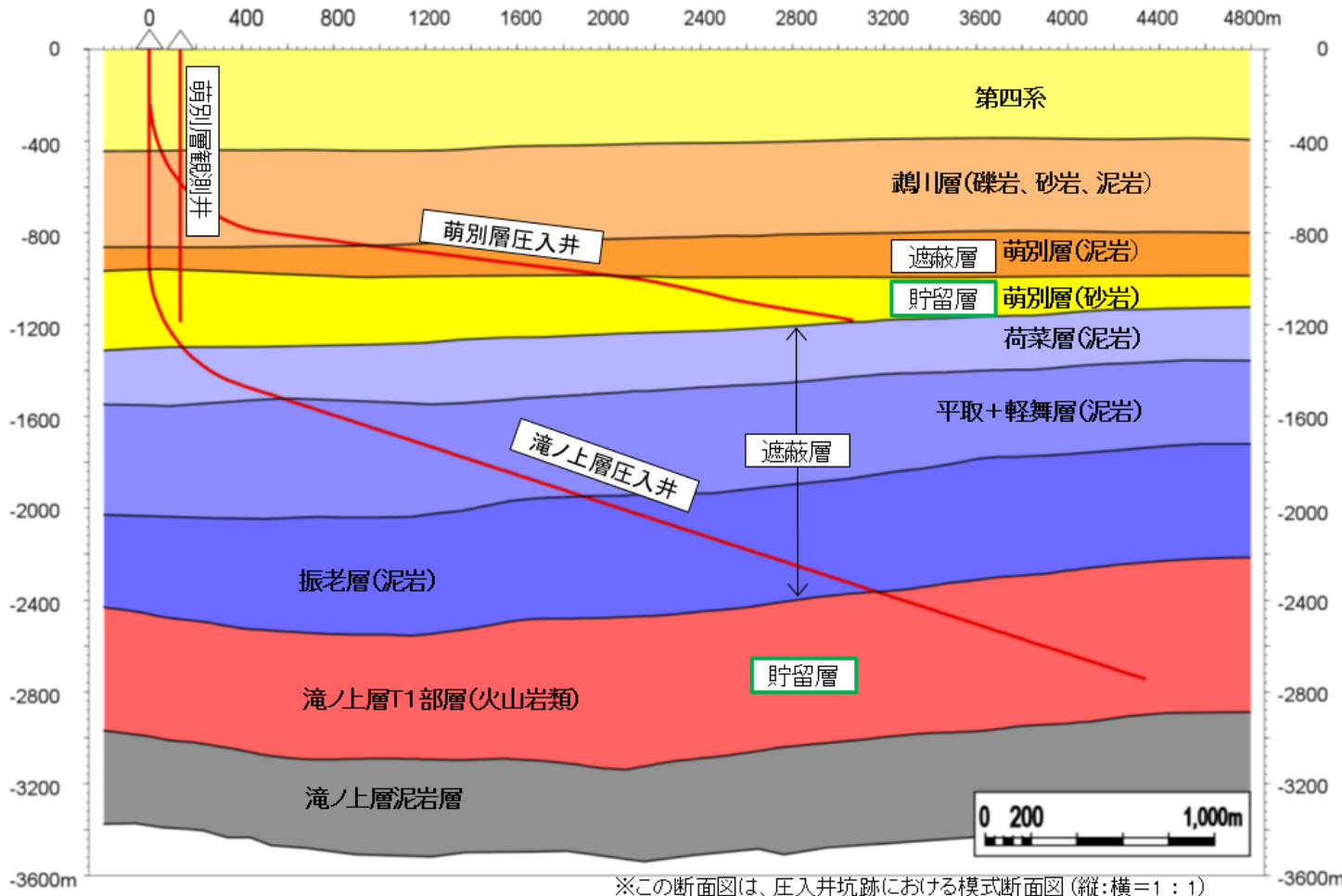
苫小牧実証試験：地上設備の位置関係



「ガス供給設備」は製油所の水素製造過程で生成されるPSAオフガス(CO₂含有ガス)を、延長1.4kmのパイプラインで「分離・回収・圧入設備」に送るための設備です。

「分離・回収・圧入設備」では、パイプラインで送られてきたCO₂含有ガスから純度99%以上のCO₂を分離・回収し、圧縮機により圧力を高めて、2坑の圧入井から海底下の貯留層へ圧入し貯留します。

苫小牧実証試験：貯留層と圧入井



CO₂貯留地点の地質断面図です。貯留層である滝ノ上層T1部層および萌別層砂岩層に2坑の圧入井によりCO₂を圧入します。

滝ノ上層圧入井は、掘削長5,800m、最大傾斜72度の傾斜井です。萌別層圧入井は、掘削長3,650m、最大傾斜83度の傾斜井です。

苫小牧実証試験：CO₂分離・回収・圧入設備の空中写真



苫小牧実証試験：CO₂分離回収装置および圧縮装置



CO₂圧縮装置

分離・回収したCO₂を
圧入に必要な圧力
まで昇圧します。

CO₂分離・回収装置

PSAオフガス中のCO₂を分
離・回収します。

二酸化炭素(CO₂) 圧入量実績

2019年11月22日、圧入を終了しました

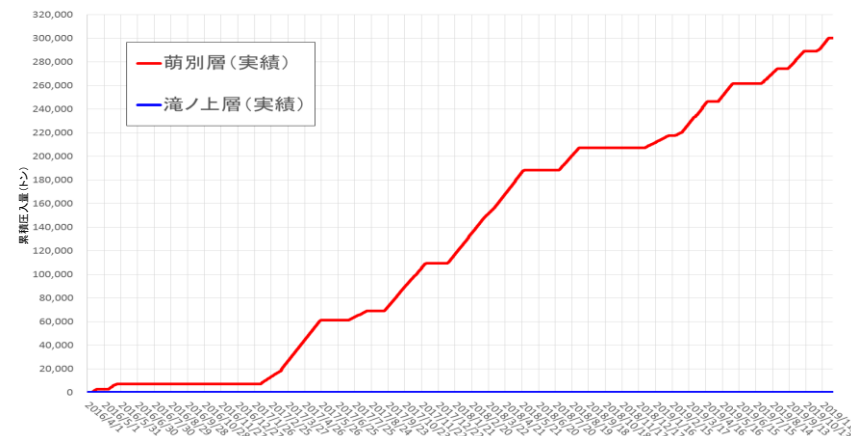
累積CO₂圧入量
(2016年4月6日～2019年11月22日)

300,110.3 トン

2019年11月の圧入実績

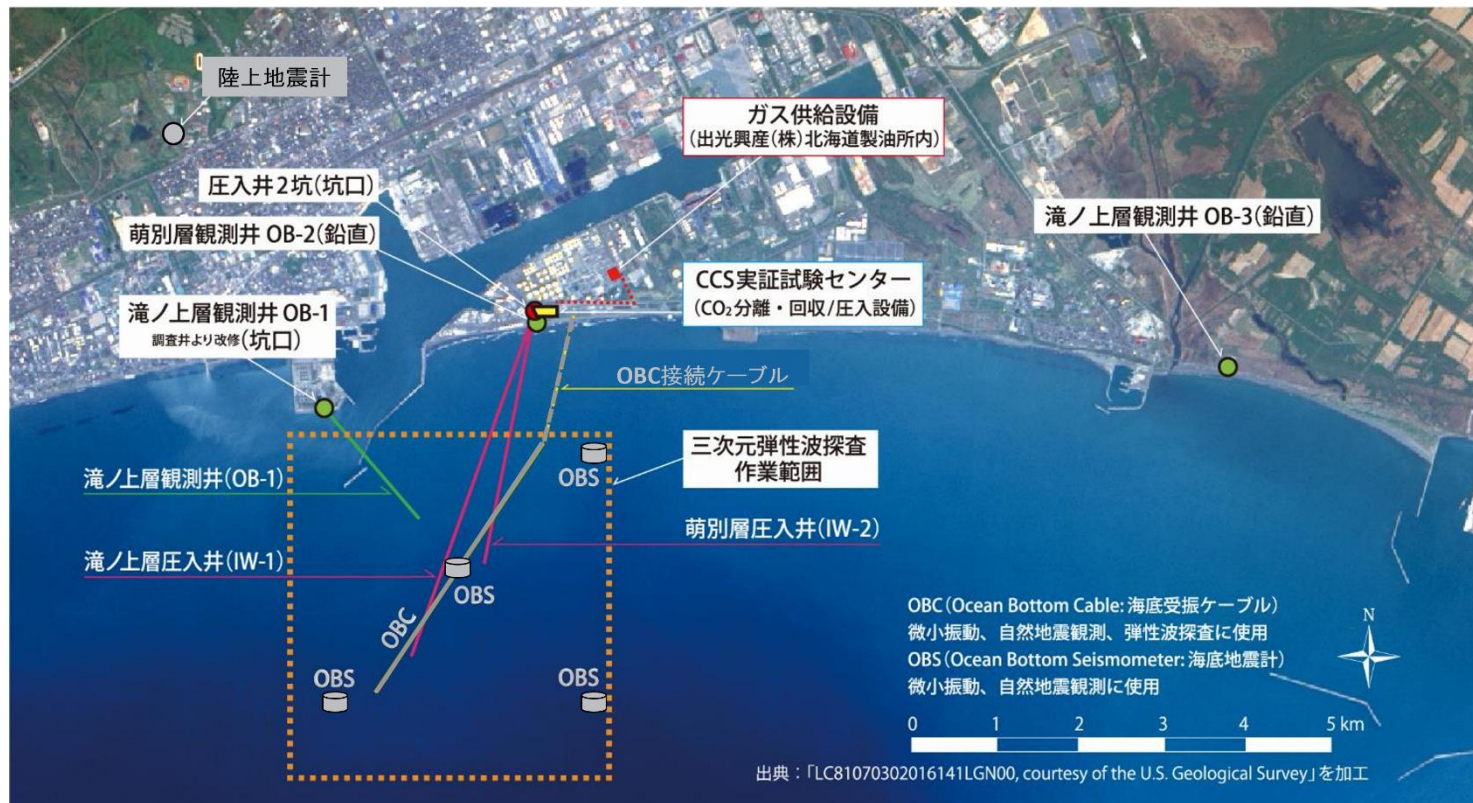
	月間圧入実績 (2019年11月)	累積圧入実績 (2019年11月22日)
萌別層	10,793.5トン	300,012.2トン
滝ノ上層	0.0トン	98.2トン

累積圧入量の推移



苫小牧実証試験 モニタリングネットワーク

本実証試験を通じた微小振動観測システムの最適化に関する検討結果を踏まえ、2021年度に陸上地震計と海底地震計(OBS)、2025年度に常設型OBCの運用を停止し、現在は、観測井で微小振動観測を継続。

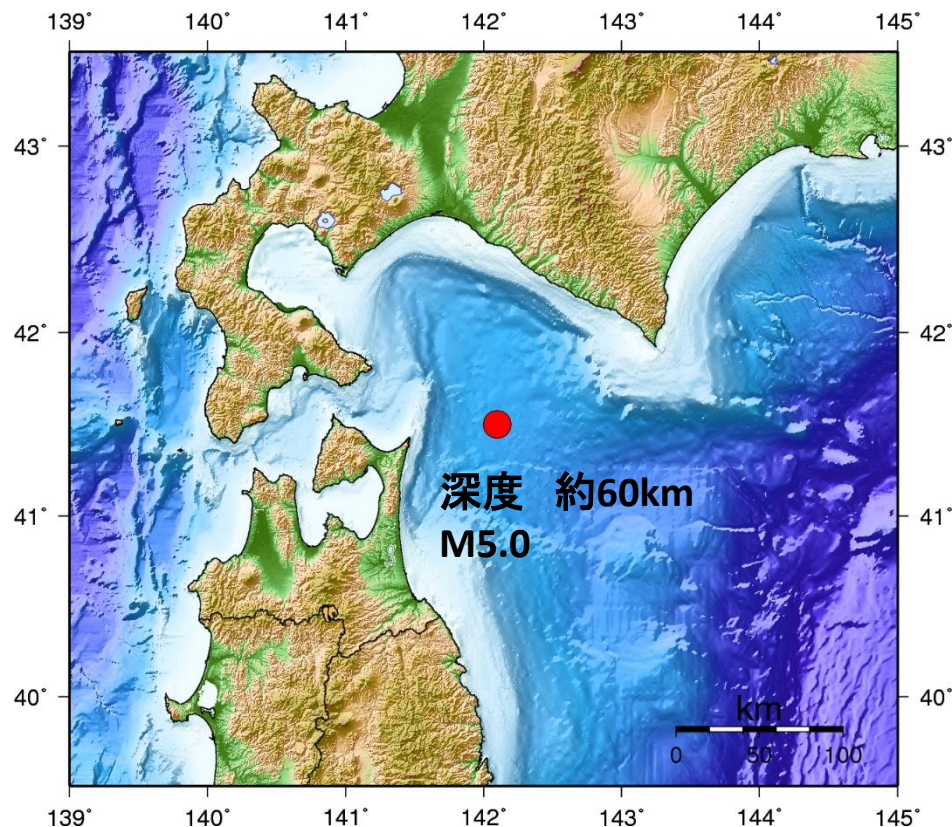


※運用を停止した装置はグレー色で表示

■ CO₂圧入地点近傍および周辺に観測ネットワークを整備し、CO₂圧入前(1年間)、CO₂圧入中(3年間)および圧入終了後の6年間以上に亘って継続してモニタリングを行います。

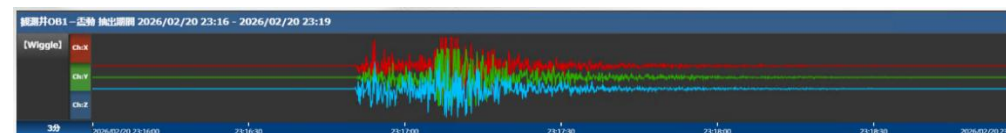
- ▶ CO₂圧入地点周辺に掘削した観測井(3坑井)およびCO₂圧入井(2坑井)の坑内で地層の圧力、温度を観測しています。
- ▶ 観測坑井内および海底に地震計を設置し、地震(体に感じることはない微小な振動を含む)を観測しています。
- ▶ 観測データは苫小牧実証試験センターで集中管理され、異常の有無を常時モニタリングしています。

苫小牧市で観測された直近の有感地震



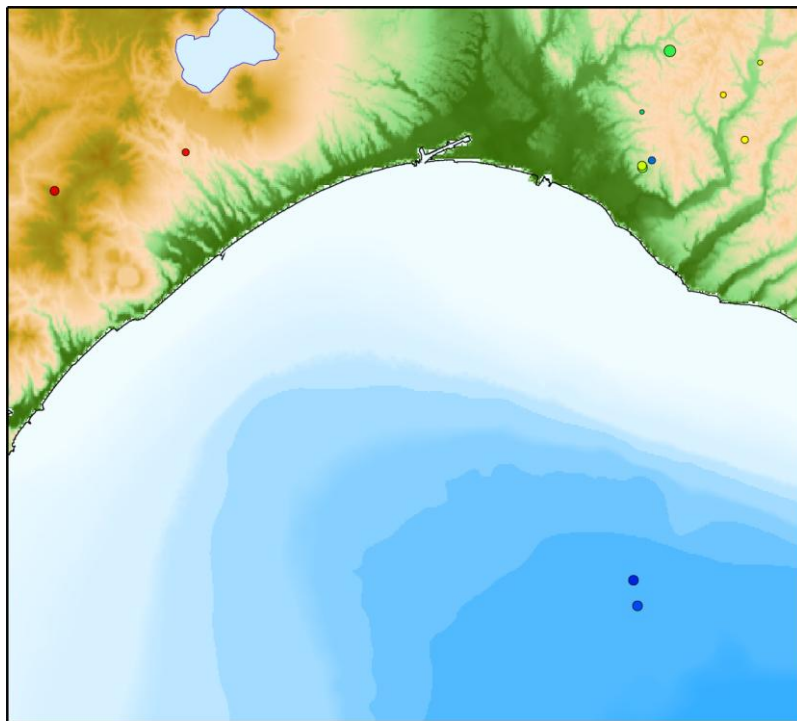
陸域部は国土地理院 数値地図250mメッシュ(標高)を使用
海域部は海上保安庁海洋情報部の資料を使用して作成

本実証試験における観測井内地震計の観測波形

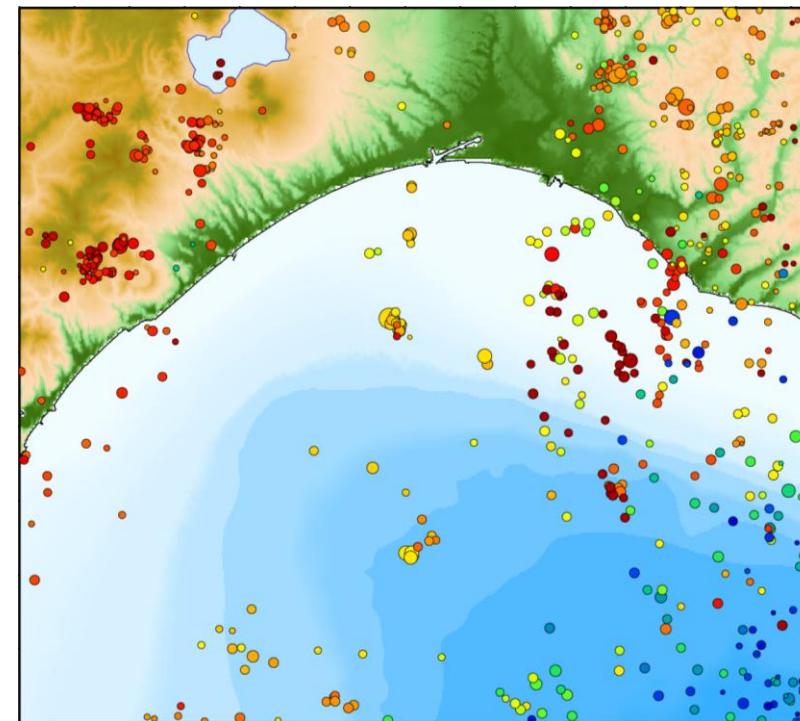
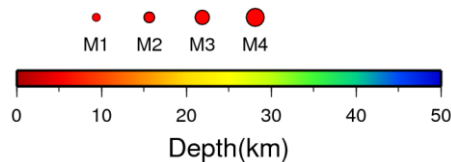


震源情報 気象庁発表	
発生時刻	2026年 2月 20日 23:16
震源位置	緯度 41° 30' N 経度 142° 6' E 深度 約60km
地震の規模	マグニチュード 5.0
苫小牧市での震度	1

苫小牧市周辺の自然地震発生状況



2026年1月の自然地震震源分布



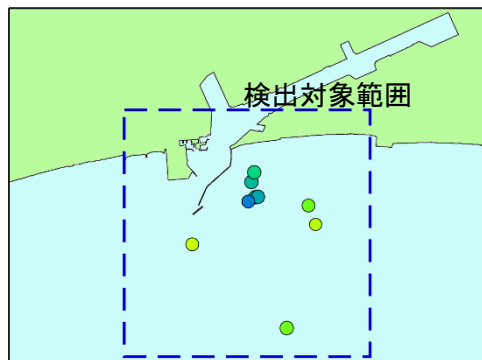
2001年～2010年に発生した自然地震震源分布

図中震源位置は気象庁一元化震源リストによる。震源深度50km以浅の地震を表示。

地形図は、国土地理院 数値地図250mメッシュ(標高)および海上保安庁「日本海洋データセンター」500mメッシュ水深データより作成

圧入地点周辺で検出された微小振動

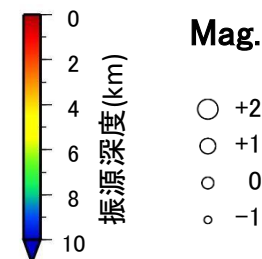
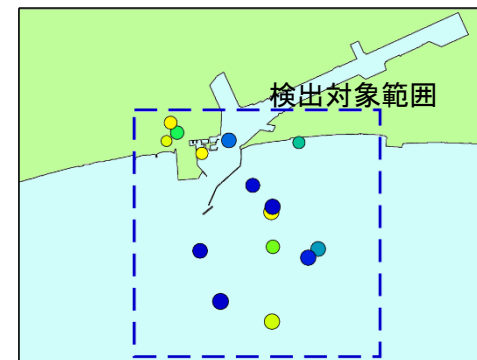
圧入開始前(2015/2/1-2016/4/5)



圧入期間中(2016/4/6-2019/11/22)

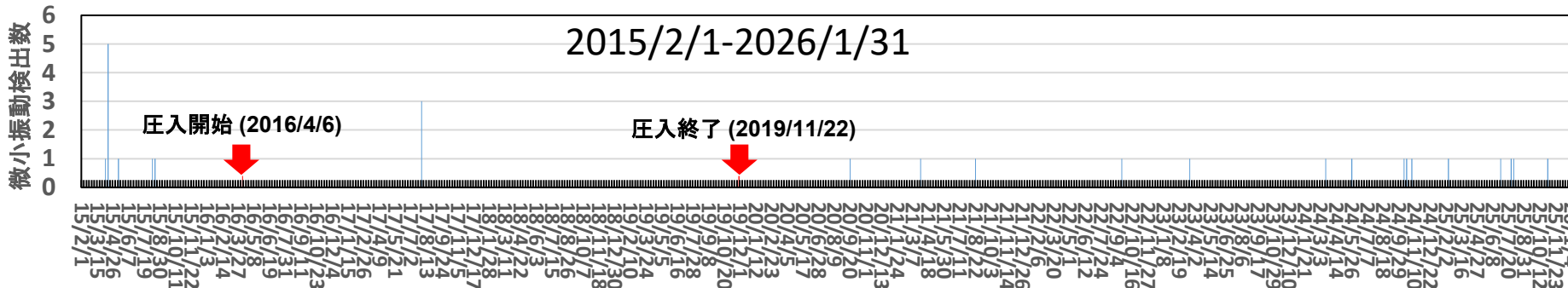


圧入終了後(2019/11/23-2026/1/31)



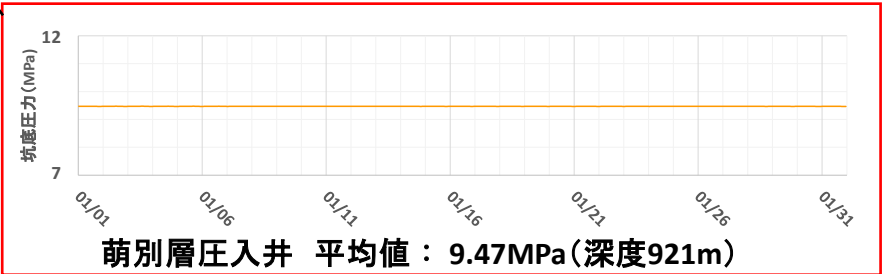
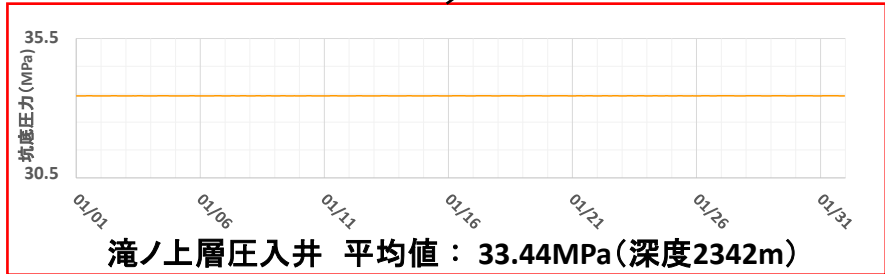
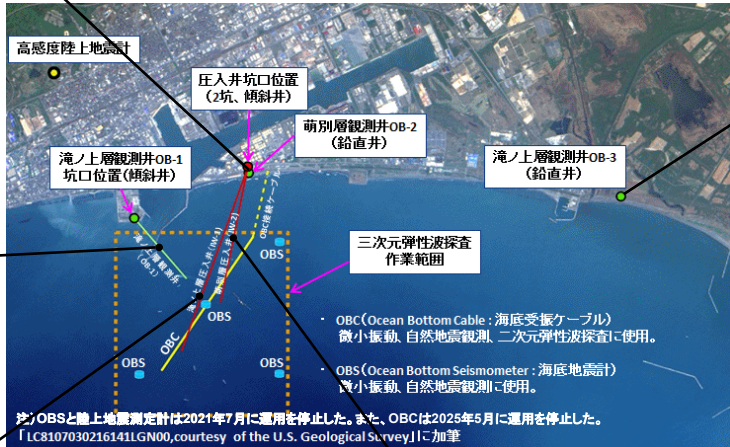
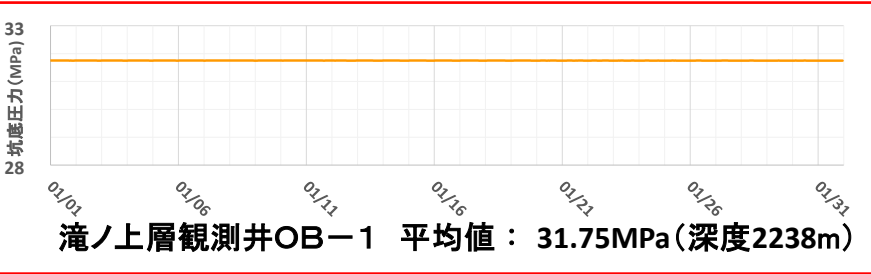
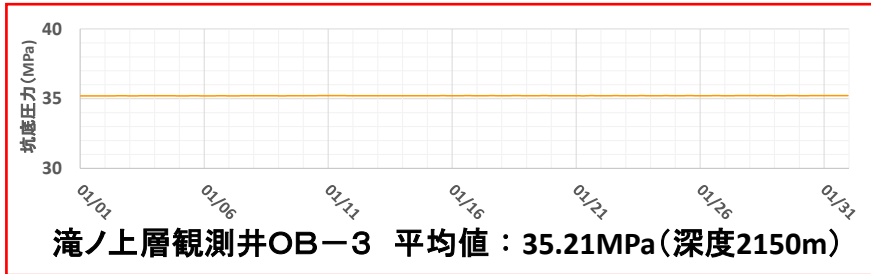
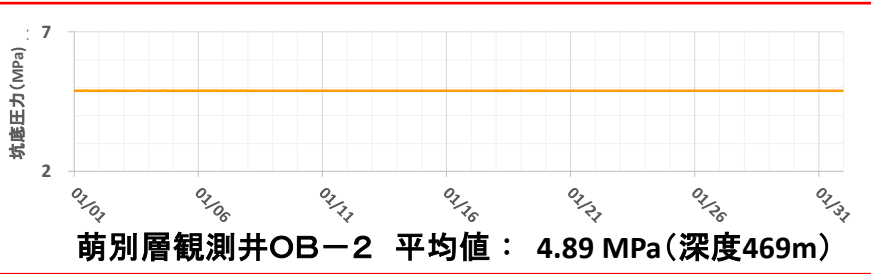
左の地図は、国土地理院
基盤地図情報海岸線データを使用
して作成した

微小振動
検出数推移
(各週)

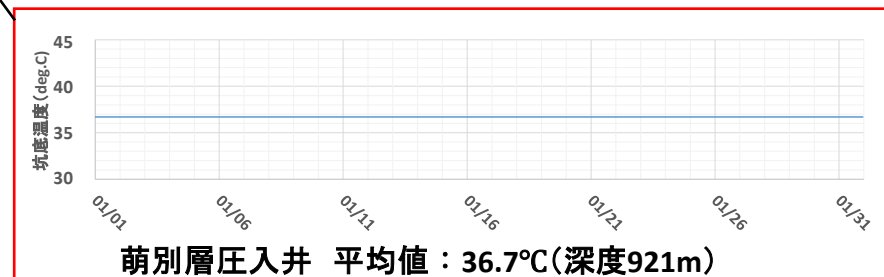
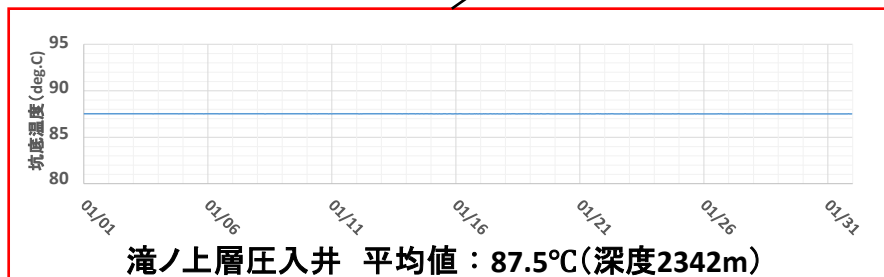
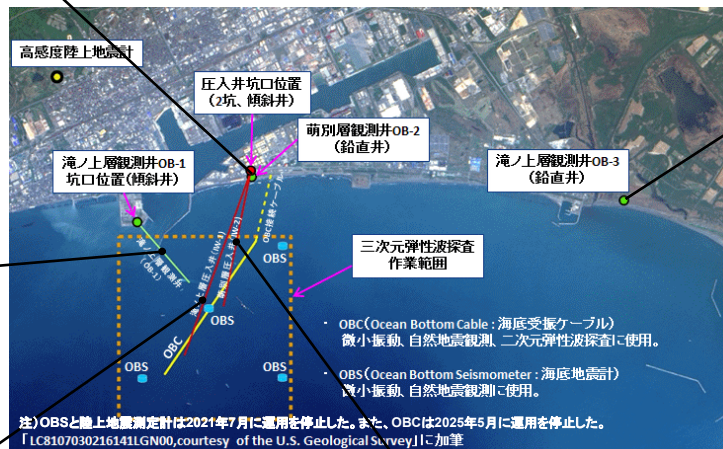
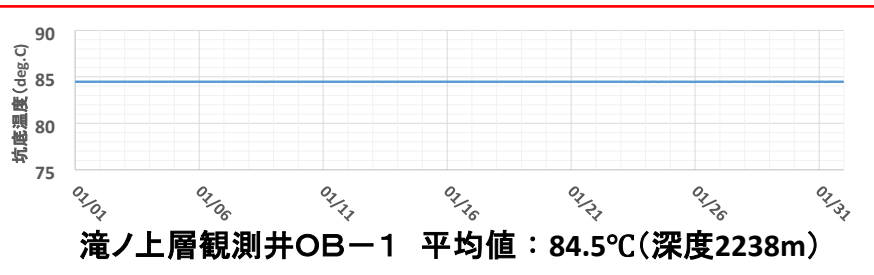
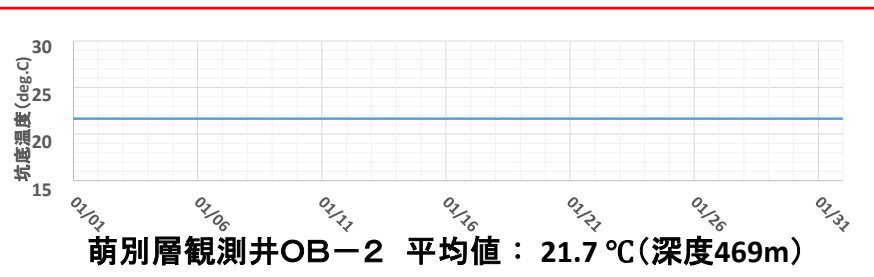


- 地震には、体に感じる有感地震と、実際に振動していても体に感じない無感地震があります。
- 本実証試験では、後者の無感地震のうち、特に規模の小さいもの(マグニチュード1未満)を微小振動と定義します。
- 本実証試験では、観測点配置の制約、地震計の検出能力の制約等から、圧入地点周辺の深度50km以浅を振源とするマグニチュード-0.5以上の微小振動をモニタリング対象としています。

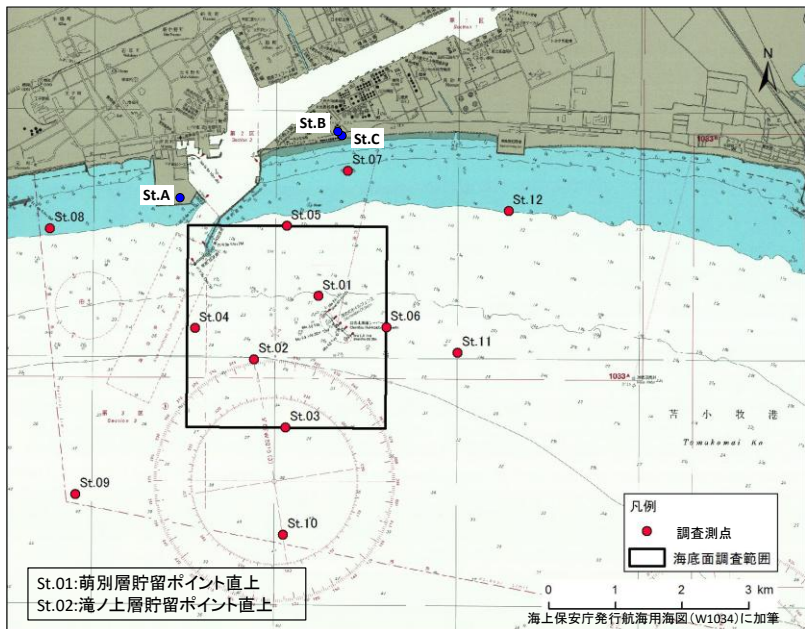
坑井内圧力観測(2026年1月)



坑井内温度観測(2026年1月)



圧入地点周辺の二酸化炭素(CO₂)濃度(季節観測)



地上の3地点(St.A～C)と海上の12地点(St.01～12)でCO₂濃度の季節観測を実施しています。

CO₂濃度は、地上観測点では体積比(単位:volppm)、海域観測点では分圧(単位:μatm)で表示しています。海域観測点の値は海底面の上方2mの位置での測定値に基づくものです。

